

ПРО КОЛИВАННЯ ТІЛА, ЗАКРІПЛЕНОГО НА РЕСОРІ З ПІДРЕСОРНИКОМ ПРИ ІМПУЛЬСНОМУ НАВАНТАЖЕННІ

Постановка проблеми. Осцилятори з кусково-лінійною силовою характеристикою поширені в техніці. Це, насамперед, підресорені кузови вантажних автомобілів, механічні передачі з запобіжними муфтами, віброударні механізми з пружними обмежувачами переміщень та інше. В них, поряд з основним, встановлюється додатковий пружний елемент, який включається в роботу при великих деформаціях основного елемента.

Аналіз останніх досліджень і публікацій. Вивченню динаміки таких механічних систем приділялась значна увага з боку дослідників. Для розрахунку частот малих і великих вільних коливань системи з одним ступенем вільності відповідні формули надруковані в довіднику [1]. До перших робіт, в яких різними методами розв'язували задачі вимушених коливань, при дії періодичних сил, відносяться [2-4]. Багато робіт, де при моделюванні коливань в останні роки силові характеристики зводили до кусково-лінійних, увійшли у списки літератури монографічних видань [5-7]. Там же є відповідні літературні огляди, що виключає потребу в додатковому його проведенні.

Тут, на відміну від відомих публікацій, розглянуто рух системи з одним ступенем вільності при неперіодичному імпульсному навантаженні.

Метою статті є виведення формул для розрахунку переміщення нелінійного осцилятора та періоду коливань і зусиль в пружних його елементах, спричинених дією силового імпульсу.

Викладення основного матеріалу. Розглянемо спочатку рух осцилятора при дії миттєво прикладеної сили. Його вертикальні переміщення $x(t)$ у часі t описуємо диференціальним рівнянням:

$$m\ddot{x} + c_1\dot{x} + c_2(x - x_1) \cdot H(x - x_1) = P \cdot H(t), \quad (1)$$

де m – підресорена маса; c_1 – коефіцієнт жорсткості основної ресори; c_2 – коефіцієнт жорсткості підресорника; $x_1 = const$ – значення переміщення (зазор), при якому починається навантаження підресорника; P – величина миттєво прикладеної сили; $H(x - x_1)$, $H(t)$ – одиничні функції Хевісайда; крапка над x означає похідну по t .

Розрахункова схема осцилятора зображена на рис. 1.

Рівняння (1) доповнюємо нульовими початковими умовами:

$$x(0) = \dot{x}(0) = 0. \quad (2)$$

Розглянемо перший етап руху на проміжку $t \in [0, t_1]$, коли $x \leq x_1$ і деформується тільки ресора. При таких t $H(x - x_1) = 0$, а переміщення осцилятора описується відомим виразом [8]:

$$x(t) = \frac{P}{c_1} [1 - \cos(\omega_1 t)], \quad (3)$$

де $\omega_1 = \sqrt{c_1/m}$ – частота малих власних коливань.

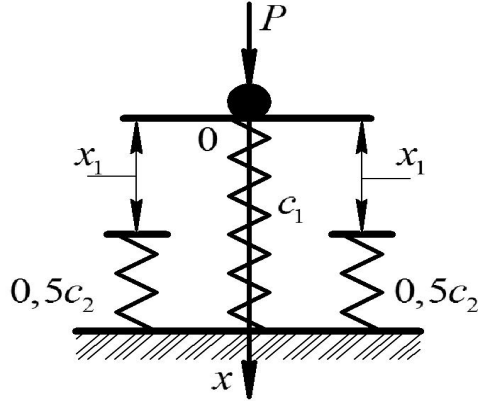


Рисунок 1 – Розрахункова схема

Згідно з (3), максимальне переміщення x_* досягається при $\omega_1 t = \pi / \omega_1$ і становить: $x_* = \frac{2P}{c_1}$.

Отже, щоб при $t = t_1 < \pi$ відбулося навантаження підресорника повинні виконуватись нерівності:

$$x_* > x_1 \text{ або } P > 0,5c_1 x_1.$$

Тоді деформування підресорника почнеться при

$$t = t_1 = \frac{2}{\omega_1} \arcsin \sqrt{\frac{c_1 x_1}{2P}}, \quad (4)$$

зі швидкістю:

$$v_1 = \dot{x}(t) = \frac{P\omega_1}{c_1} \sin(\omega_1 t_1).$$

Цей другий етап руху осцилятора проходить на проміжку часу $t \in [t_1; t_2]$, причому переміщення $x(t) \geq x_1$ задовольняє рівнянню:

$$m\ddot{x} + (c_1 + c_2)x = P + c_2 x_1$$

і початковим умовам:

$$x(t_1) = x_1; \quad \dot{x}(t_1) = v_1.$$

Ця задача Коші має аналітичний розв'язок:

$$x(t) = \frac{P + c_2 x_1}{c_1 + c_2} + \frac{c_1 x_1 - P}{c_1 + c_2} \cos(\omega_2 (t - t_1)) + \frac{v_1}{\omega_2} \sin(\omega_2 (t - t_1)),$$

де $\omega_2 = \sqrt{\frac{c_1 + c_2}{m}}$.

Елементарними перетвореннями йому надаємо вигляд:

$$x(t) = B + A \sin[\omega_2(t - t_1) + \varphi], \quad (5)$$

де $A = \sqrt{\left(\frac{c_1 x_1 - P}{c_1 + c_2}\right)^2 + \left(\frac{v_1}{\omega_2}\right)^2}$; $B = \frac{P + c_2 x_1}{c_1 + c_2}$; $\varphi = \text{arctg} \frac{(c_1 x_1 - P) \omega_2}{(c_1 + c_2) v_1}$.

Із (5) випливає, що максимальне відхилення осцилятора від положення $x = 0$, під дією сили P , становить:

$$\max x(t) = x(t_*) = A + B.$$

Час його досягнення легко обчислити за формулою:

$$t_* = t_1 + \frac{1}{\omega_2} \left(\frac{\pi}{2} - \varphi \right). \quad (6)$$

При цьому також досить просто знайти максимальні зусилля в основній ресорі $\max F_1$ і підресорнику $\max F_2$. Вони наступні:

$$\max F_1 = c_1 \cdot x(t_*), \quad \max F_2 = c_2 \cdot (x(t_*) - x_1). \quad (7)$$

Кінець другого етапу руху настає при:

$$t = t_2 = 2t_* - t_1.$$

При цьому рух проходить зі швидкістю:

$$v_2 = \dot{x}(t_2) = A \omega_2 \cos[\omega_2(t_2 - t_1) + \varphi].$$

Перший цикл коливань з періодом T завершується третім етапом руху, який описується диференціальним рівнянням:

$$m\ddot{x} + c_1 x = P,$$

з початковими умовами:

$$x(t_2) = x_1; \quad \dot{x}(t_2) = v_2.$$

Ця задача на проміжку $t \in [t_2; T]$ має розв'язок:

$$x(t) = \frac{P}{c_1} + \left(x_1 - \frac{P}{c_1} \right) \cos(\omega_1(t - t_2)) + \frac{v_2}{\omega_1} \sin(\omega_1(t - t_2)). \quad (8)$$

Отже, вирази (3), (5) і (8) описують рух осцилятора на першому циклі коливань, що потім легко поширити і на більші t .

Тривалість першого циклу становить $T = 2t_*$ і вона зберігається і для наступних циклів.

З метою апробації виведених формул розглянемо числовий приклад.

Приклад 1. Для проведення розрахунків задаємо: $m = 10^3$ кг; $c_1 = 10^5$ Н/м; $c_2 = 69 \cdot 10^3$ Н/м; $P = 4 \cdot 10^3$ Н; $x_1 = 0,03$ м. При таких вихідних даних маємо: $\omega_1 = 10$ с⁻¹; $\omega_2 = 13$ с⁻¹. Подальший розрахунок дає: $t_1 = 0,131811$ с; $v_1 = 0,387298$ м/с; $A = 0,030374$ м; $B = 0,035917$ м; $\varphi = -0,196063$. Тоді: $\max x(t) = 0,066291$ м і досягається він при $t = t_* = 0,267723$ с. Максимальні зусилля в пружних елементах становлять: $\max F_1 = 6692,1$ Н, $\max F_2 = 2504,08$ Н. Розвантаження підресорника відбувається при $t = t_2 = 0,403635$ с, а тривалість першого циклу $T = 0,535446$ с.

Зазначимо, що період коливань T тут залежить не лише від маси і коефіцієнтів жорсткості ресор осцилятора, а також і від величини прикладеної сили, що властиво нелінійним системам. Так при $P = 2 \cdot 10^3$ Н $T = 0,59624$ с, а при $P = 6 \cdot 10^3$ Н $T = 0,51540$ с. Маємо зменшення тривалості одного циклу коливань зі збільшенням сили P .

Далі розглянемо рух осцилятора і визначимо його максимальне переміщення при дії прямокутного силового імпульсу. Позначивши через τ тривалість дії сили $P = const$, будемо розв'язувати диференціальне рівняння:

$$m\ddot{x} + c_1\dot{x} + c_2(x - x_1) \cdot H(x - x_1) = P[H(t) - H(t - \tau)],$$

при початкових умовах (2).

Його розв'язки залежать від тривалості τ .

1. Припустимо, що тривалість мала і попадає в проміжок $\tau \in [0; t_1]$, де t_1 визначено (4). Тоді при $t < \tau$ переміщення осцилятора описується виразом (3), а на проміжку $t \in [\tau; t_1]$ подається відомою формулою [8]:

$$x(t) = \frac{2P}{c_1} \sin \frac{\omega_1 \tau}{2} \cdot \sin \left(\omega_1 \left(t - \frac{\tau}{2} \right) \right).$$

В момент часу $t = t_{11}$ повинна виконуватись рівність:

$$\frac{2P}{c_1} \sin \frac{\omega_1 \tau}{2} \cdot \sin \left(\omega_1 \left(t_{11} - \frac{\tau}{2} \right) \right) = x_1.$$

Звідки випливає, що:

$$t_{11} = \frac{\tau}{2} + \frac{1}{\omega_1} \arcsin \left(\frac{c_1 x_1}{2P \sin \frac{\omega_1 \tau}{2}} \right).$$

Це можливо лише за умови:

$$P > \frac{c_1 x_1}{2 \sin \frac{\omega_1 \tau}{2}}.$$

У супротивному випадку переміщення осцилятора не перевершать x_1 і рух проходить без деформування підресорника.

Швидкість руху осцилятора v_{11} в момент часу $t = t_{11}$ становить:

$$v_{11} = \frac{2P\omega_1}{c_1} \sin \frac{\omega_1 \tau}{2} \cdot \cos \left(\omega_1 \left(t_{11} - \frac{\tau}{2} \right) \right).$$

Для аналізу подальших переміщень і визначення $\max x(t)$ розв'язуємо диференціальне рівняння:

$$m\ddot{x} + c_1 x + c_2 (x - x_1) \cdot H(x - x_1) = P [H(t) - H(t - \tau)],$$

при початкових умовах: $x(t_{11}) = x_1$; $\dot{x}(t_{11}) = v_{11}$.

Одержуємо розв'язок:

$$x(t) = C + D \sin [\omega_2 (t - t_{11}) + \theta],$$

де $C = \frac{c_2 x_1}{c_1 + c_2}$; $D = \sqrt{\left(\frac{c_1 x_1}{c_1 + c_2} \right)^2 + \left(\frac{v_{11}}{\omega_2} \right)^2}$; $\theta = \arctg \frac{c_1 x_1 \omega_2}{(c_1 + c_2) v_{11}}$.

У відповідності з цим розв'язком максимальне відхилення осцилятора від положення $x = 0$ становить:

$$\max x(t) = x(t_{1*}) = C + D,$$

причому

$$t_{1*} = t_1 + \frac{1}{\omega_2} \left(\frac{\pi}{2} - \theta \right).$$

Обчисливши $\max x(t)$, потім легко по формулах (7) знайти і максимальні зусилля в ресорі та підресорнику.

2. У випадку дії імпульсу «середньої тривалості» $\tau \in [t_1; t_*]$, де t_1 і t_* визначаються формулами (4) і (6), переміщення осцилятора на проміжку $t \in [0; t_1]$ описуються виразом (3). Для їх обчислення на проміжку $t \in [t_1; \tau]$ маємо розв'язок (5), згідно з яким:

$$\begin{aligned} x(\tau) &= x_{21} = B + A \sin [\omega_2 (\tau - t_1) + \varphi]; \\ \dot{x}(\tau) &= v_{21} = A \omega_2 \cos [\omega_2 (\tau - t_1) + \varphi]. \end{aligned} \tag{10}$$

Щоб знайти $\max x(t)$ і час його досягнення розв'язуємо рівняння (9) при початкових умовах (10). Одержуємо:

$$x(t) = S + Q \sin [\omega_2 (t - \tau) + \psi],$$

$$\text{де } S = \frac{c_2 x_1}{c_1 + c_2}; \quad Q = \sqrt{(x_{21} - S)^2 + \left(\frac{v_{21}}{\omega_2}\right)^2}; \quad \psi = \arctg \frac{(x_{21} - S)\omega_2}{v_{21}}.$$

Тоді

$$\mathbf{max} x(t) = x(t_{2*}) = S + Q. \quad (11)$$

$$\text{Цей максимум досягається в момент часу } t = t_{2*} = \tau + \frac{1}{\omega_2} \left(\frac{\pi}{2} - \psi \right).$$

Для обчислення максимальних зусиль в ресорі та підресорнику в формули (7) треба підставити (11).

3. Третій варіант руху маємо при дії «порівняно тривалого імпульсу», коли $\tau > t_*$. В цьому випадку зберігають чинність розрахункові формули (3), (5), (7) і (8), виведені для миттєво прикладеної сили, або так званого ступінчастого імпульсу. Тому заново будувати формул не треба, якщо обмежитись дослідженням руху при $t \leq \tau$. Для цих t прямокутні імпульси дають такий же динамічний ефект, як і ступінчастий імпульс.

Для ілюстрації можливостей одержаних розв'язків розглянемо числові приклади.

Приклад 2. Зберігаючи вказані вище вихідні дані, припустимо, що тривалість дії сили $P = 4 \cdot 10^3$ Н обмежена і становить $\tau = 0,1$ с. Для такого короткого імпульсу маємо: $t_{11} = 0,139817$ с; $v_{11} = 0,238962$ м/с; $C = 0,012249$ м; $D = 0,025554$ м; $\theta = 0,767959$. Максимальне переміщення $x(t_{1*}) = 0,037803$ м досягається при $t_{1*} = 0,201574$ с. Максимальні зусилля в ресорі та підресорнику мають значення: $\mathbf{max} F_1 = 3780,3$ Н, $\mathbf{max} F_2 = 538,4$ Н. Ці максимуми значно менші, ніж ті що отримані в прикладі 1.

Приклад 3. З'ясуємо, як зміняться результати, одержані в попередньому прикладі, при збільшенні в два рази тривалості імпульсу, коли $\tau = 0,2$ с. При такій тривалості значення t_1 , A , B , φ залишаються тими, що в прикладі 1. Для них: $x_{21} = 0,055260$ м; $v_{21} = 0,304437$ м/с. Подальші обчислення дають: $S = 0,012249$ м; $Q = 0,048973$ м; $\psi = 1,072208$; $x(t_{2*}) = 0,061222$ м; $t_{2*} = 0,238353$ с; $\mathbf{max} F_1 = 6122,2$ Н; $\mathbf{max} F_2 = 2154,3$ Н. Внаслідок подвоєння τ суттєво збільшилися переміщення і зусилля в осциляторі, але вони залишилися меншими тих, що в прикладі 1.

Висновки. 1. Встановлено, що задача руху осцилятора з кусково-лінійною силовою характеристикою пружності при імпульсному силовому навантаженні має точний аналітичний розв'язок в елементарних функціях. Його побудовано в роботі.

2. Розрахунками показано, що тривалість прямокутного імпульсу суттєво впливає на переміщення і зусилля в пружних елементах осцилятора.

3. Із прямокутних імпульсів сталої висоти найбільш небезпечний імпульс, у якого тривалість τ дорівнює t_* . Він призводить до найбільших амплітуд вільних коливань, після розвантаження осцилятора, а під час дії дає такий же динамічний ефект як і ступінчастий імпульс.

Література: 1. *Вибрации в технике: Справочник в 6-ти томах.* – М. : Машиностроение, 1979. – Т.2. *Колебания нелинейных механических систем.* – 351 с. 2. Лурье А. И. *Вынужденные колебания в нелинейной системе с характеристикой из двух прямолинейных отрезков* / А. И. Лурье, А. И. Чекмарев // *Прикладная математика и механика.* Т.1. В.3 –1938. –С. 307-324. 3. Ден-Гартог Дж.П. *Механические колебания* / Дж.П. Ден-Гартог. – Москва: Гос. издат. физ-мат. л-ры, 1960. – 580 с. 4. Боголюбов Н. Н. *Асимптотические методы в теории нелинейных колебаний* / Н. Н. Боголюбов, Ю. А. Митропольский. – Москва: Наука, 1974. – 504 с. 5. Аврамов К. В. *Нелинейная динамика упругих систем* / К. В. Аврамов, Ю. В. Михлин. – Москва-Ижевск: Институт компьютерных исследований, 2015. Т.1.– 716 с. 6. Ларин А. А. *Очерки истории развития теории механических колебаний* / А.А. Ларин. Севастополь: Вебер, 2013. – 403 с. 7. Шатохин В. М. *Анализ и параметрический синтез нелинейных силовых передач машин.* Харьков: НТУ «ХПИ», 2008. – 456 с. 8. Пановко Я. Г. *Основы прикладной теории колебаний и удара* / Я. Г. Пановко. – Ленинград: Машиностроение, 1976. – 320 с.

Bibliography (transliterated): 1. *Vibratsii v tehnikе: Spravochnik v 6-ti tomah.* – M.: Mashinostroenie, 1979. – T.2. *Kolebaniya nelineynykh mekhanicheskikh sistem.* – 351 s. 2. Lure A.I. *Vyinzhdennyye kolebaniya v nelineynoy sisteme s harakteristikoy iz dvuh pryamolineynykh otrezkov* / A.I. Lure, A.I. Chekmarev // *Prikladnaya matematika i mehanika.* T.1. V.3 –1938. –S. 307-324. 3. Den-Gartog Dzh.P. *Mekhanicheskie kolebaniya* / Dzh.P. Den-Gartog. – Moskva: Gos. izdat. fiz-mat. l-ryi, 1960. – 580 s. 4. Bogolyubov N.N. *Asimptoticheskie metodyi v teorii nelineynykh kolebaniy* / N.N. Bogolyubov, Yu.A. Mitropolskiy. – Moskva: Nauka, 1974. – 504 s. 5. Avramov K.V. *Nelineynaya dinamika uprugih sistem* / K.V. Avramov, Yu.V. Mihlin. – Moska-Izhevsk: Institut kompyuternykh issledovaniy, 2015. T.1.– 716 s. 6. Larin A.A. *Ocherki istorii razvitiya teorii mekhanicheskikh kolebaniy* / A.A. Larin. Sevastopol: Veber, 2013. – 403 s. 7. Shatohin V.M. *Analiz i parametricheskiiy sintez nelineynykh silovih peredach mashin.* Harkov: NTU «HPI», 2008. – 456 s. 8. Panovko Ya.G. *Osnovyi prikladnoy teorii kolebaniy i udara* / Ya.G. Panovko. – Leningrad: Mashinostroenie, 1976. – 320 s.

Ольшанський В.П., Бурлака В.В., Сліпченко М.В.

ПРО КОЛИВАННЯ ТІЛА, ЗАКРІПЛЕНОГО НА РЕСОРІ З ПІДРЕСОРНИКОМ ПРІ ІМПУЛЬСНОМУ НАВАНТАЖЕННІ

Розглянуто вимушені коливання осцилятора з пружною характеристикою у вигляді відрізків двох прямих при силовому імпульсному навантаженні. Визначено умови, при яких крім основної ресори, деформується і додаткова ресора (підресорник). Виведено замкнуті формули для обчислення переміщення тіла (зосередженої маси) в часі і періоду її коливань.

Ольшанский В.П., Бурлака В.В., Слипченко М.В.

О КОЛЕБАНИЯХ ТЕЛА, ЗАКРЕПЛЕННОГО НА РЕССОРЕ С ПОДРЕССОРНИКОМ ПРІ ИМПУЛЬСНОЙ НАГРУЗКЕ

Рассмотрены вынужденные колебания осциллятора с упругой характеристикой в виде отрезков двух прямых при силовой импульсной нагрузке. Определены условия, при которых кроме основной рессоры, деформируется и дополнительная рессора (подрессорник). Выведены замкнутые формулы для вычисления перемещения тела (сосредоточенной массы) во времени и периода ее колебаний.

V. Olshanskiy, V. Burlaka, M. Slipchenko

ON THE OSCILLATION OF A BODY FIXED ON SPRING WITH A SUB-SPRINGS, WITH A PULSED LOAD

The forced oscillations of an oscillator with an elastic characteristic in the form of segments of two lines with a force impulse load are considered. Conditions are defined under which, besides the main spring, the additional spring (sub-springs) is deformed. Closed formulas are derived for calculating the displacement of a body (concentrated mass) in time and the period of its oscillations.